

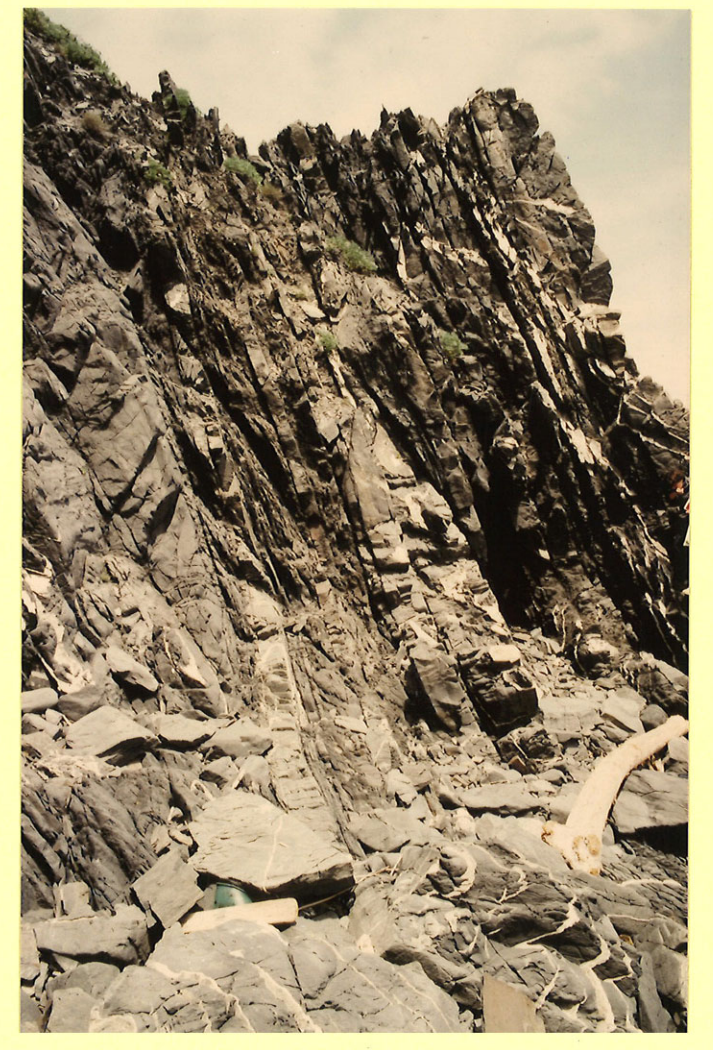
## Documentación complementaria MAGNA Álbum Fotográfico

Isla de Menorca hoja E. 1:25.000

Mao 647 II-III (85-50)



 Cra. del Faro de Favaritx junto al cruce de la cra. de Maó a Fornells. Sa Sella (por su parecido a una silla de montar a caballo). Niveles areniscosos del Buntsandstein Inferior. El llano está ocupado por sedimentos cuaternarios muy recientes y de origen lacustre.



2. Es Clot d'en Mora. Turbiditas (facies Culm) del Carbonífero. Abundan las intercalaciones de facies B2 de granulometría muy gruesa.



3. Cap d'en Montsenyer Vives. Canal de turbiditas (facies Culm) formado por grandes capas amalgamadas de turbiditas muy densas de granulometría grosera. Carbonífero.



4. Capifort. Turbiditas diluídas de desbordamientos (facies Culm) del Carbonífero. Capas delgadas de granulometría fina organizadas en <u>climbing</u> ripples entre pizarras.



5. Capifort. Turbiditas diluídas de desbordamientos (facies Culm) del Carbonífero. Capas delgadas de granulometría fina organizadas en climbing ripples entre pizarras.



6. Pa Gros. Cala Mesquida. Capa de turbiditas diluídas. Secuencia de Bouma tipo Tb-e. Facies de desbordamiento. Carbonífero (Culm).



7. Cap de Favaritx. Pseudonódulos de microconglomerados en areniscas groseras. Canal de turbiditas densas (facies Culm). Carbonífero.



8. Es Cap Negre. Canal de turbiditas densas del Carbonífero (facies Culm). En la parte izquierda de la diapositiva, junto al agua, facies finas pizarrosas de desbordamiento formadas por turbiditas diluídas, de grano fino a muy fino.



9. Pa Gros de Sa Mesquida. Pseudonódulos en los canales de turbiditas formados por areniscas microconglomeráticas y areniscas de grano grueso. Facies Culm.



10. Canal turbidítico (facies Culm) del Faro de Favaritx. La depresión ocupada por el agua corresponde a facies finas de desbordamiento. Carbonífero.



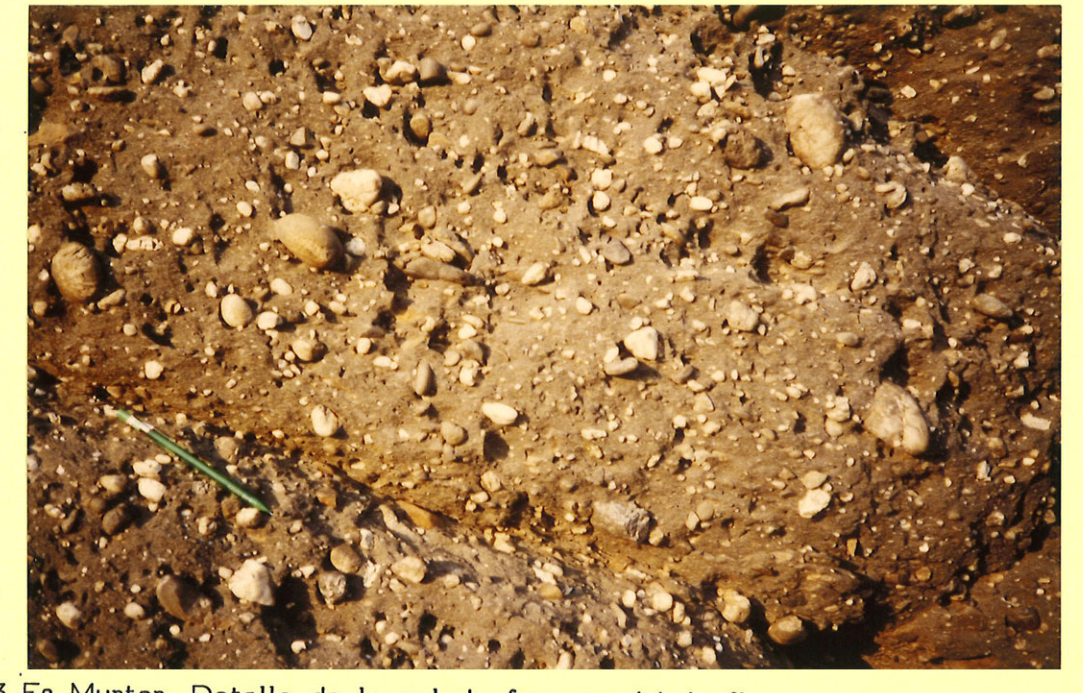
10. Canal turbidítico (facies Culm) del Faro de Favaritx. La depresión ocupada por el agua corresponde a facies finas de desbordamiento. Carbonífero.



11. Es Murtar. Colada fangosa <u>debris flow</u>. Obsérvese los grandes cantos de turbiditas intracuenca arrancados durante el transporte; aún eran plásticas pues se hallan plegadas formando pillows. Carbonífero, facies Culm.



12. Es Murtar. Canto de <u>thin beds turbidites</u> en una colada fangosa. Carbonífero (facies Culm).



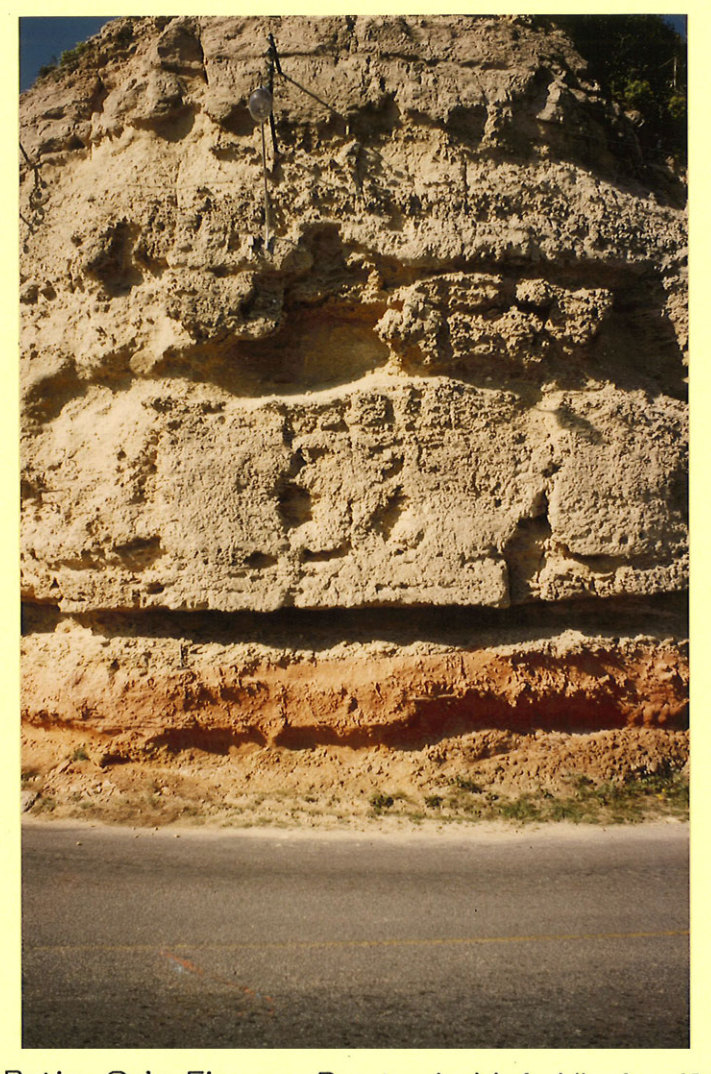
13. Es Murtar. Detalle de la colada fangosa debris flow con los cantos mud suported. Carbonífero, facies Culm.



14. Es Murtar. Aspecto general de la colada fangosa. Carbonífero. Facies Culm.



15. Isla d'en Colom. Facies tractivas conglomeráticas y de arena gruesa (B2) intercaladas en las facies finas turbidíticas. Facies de desbordamiento. Carbonífero.



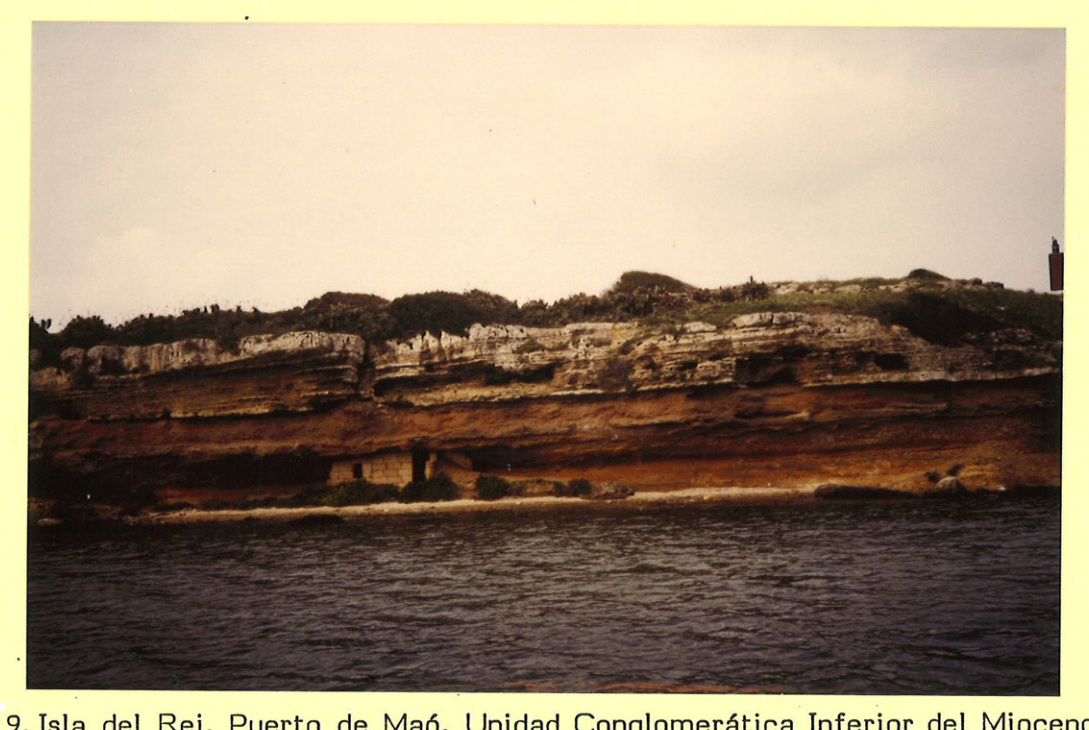
16. Sa Punta Rotja. Cala Figuera. Puerto de Maó. Nivel pelítico bioturbado rojizo sobre conglomerados de la base del Mioceno y, calcarenitas bioturbadas de la unidad intermedia del Mioceno.



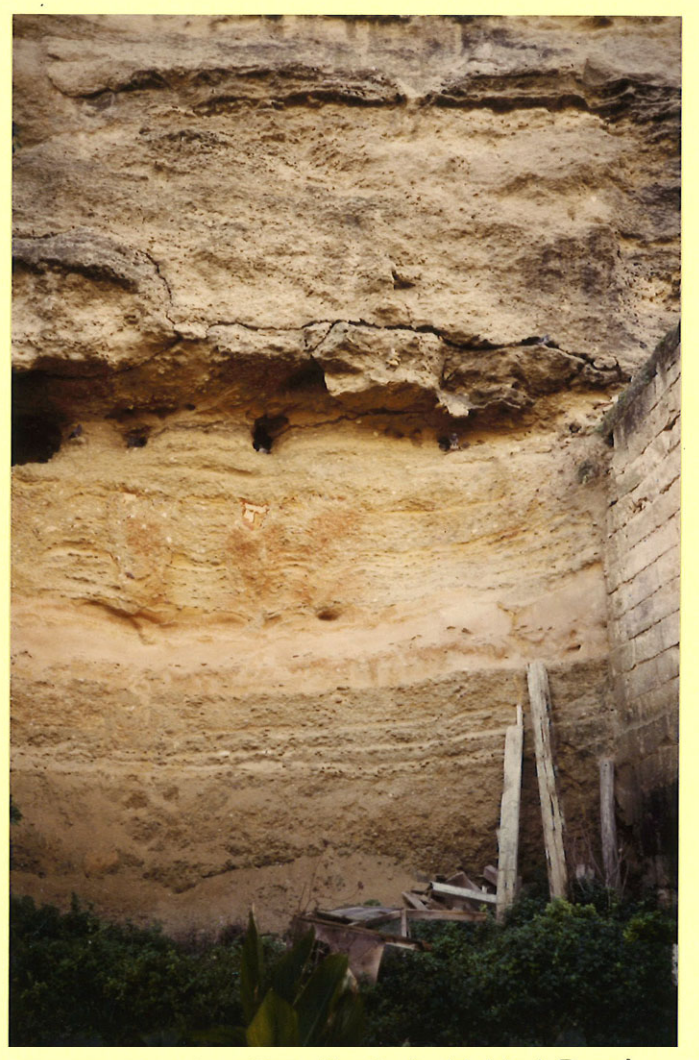
17. Puerto de Maó, Cala Figuera, Sa Punta Rotja. Conglomerados torrenciales de la Unidad Inferior del Mioceno (obsérvese su imbricación) y pelitas rojizas con burrows.



18. Isla del Rei, Puerto de Maó. Unidad conglomerática Inferior del Mioceno (rojiza) y Unidad Calcarenítica Intermedia donde se asienta el antiguo Hospital Militar.



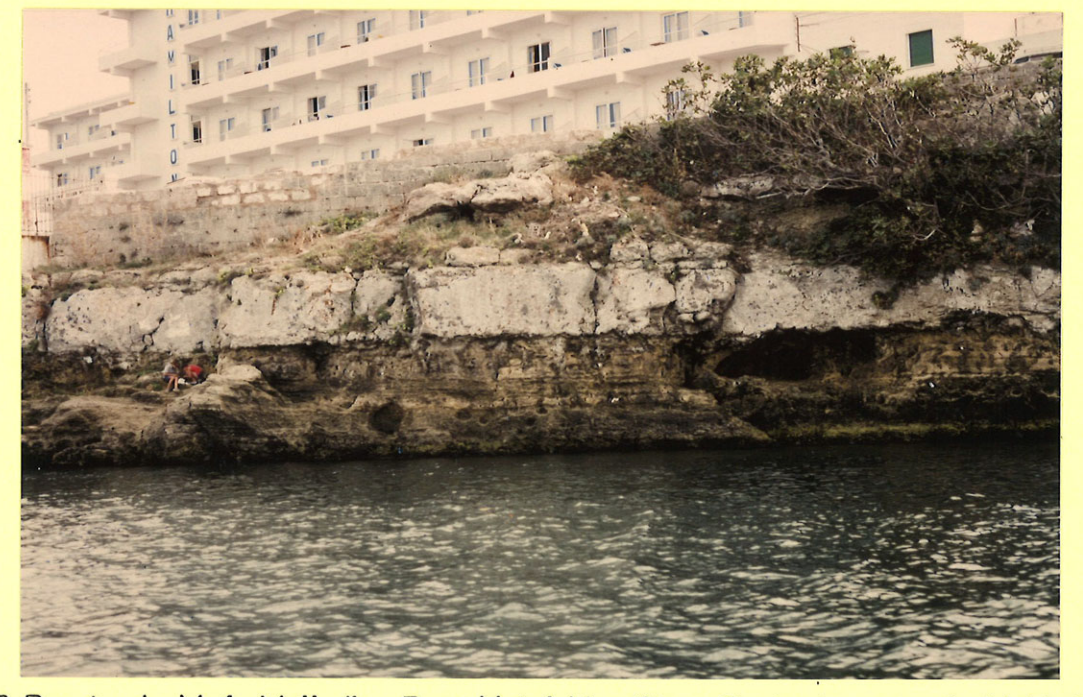
19. Isla del Rei, Puerto de Maó. Unidad Conglomerática Inferior del Mioceno (rojiza) y Unidad Calcarenítica Intermedia donde se asienta el antiguo Hospital Militar. La Unidad Calcarenítica corresponde a una playa, obsérvese la estratificación cruzada planar y de bajo ángulo característica de los niveles dominados por la acción del oleaje.



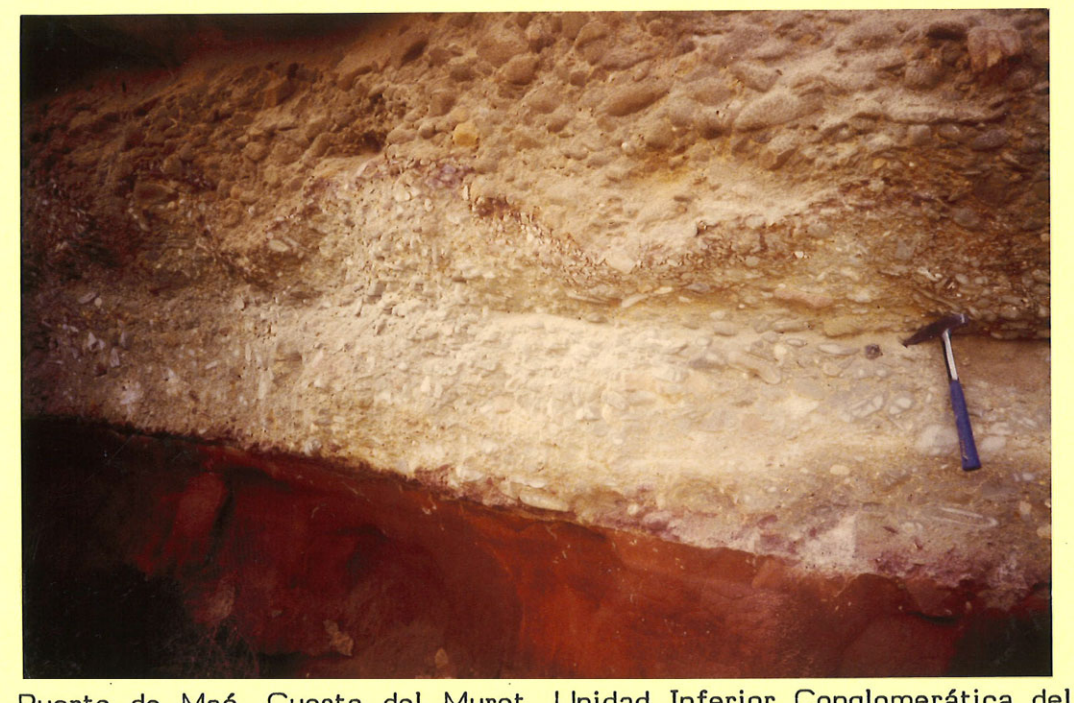
20. Puerto de Maó, Bar Rosales. Detalle de la Unidad Conglomerática Inferior del Mioceno.



21. Vista aérea del Puerto de Maó en su desembocadura. Obsérvese en la Península de La Mola, la discordancia del Mioceno sobre el Paleozoico.



22. Puerto de Maó. Moll d'en Pons-Hotel Hamilton. Contacto entre la Unidad Inferior Conglomerática y la Unidad Intermedia Calcarenítica del Mioceno.



23. Puerto de Maó. Cuesta del Muret. Unidad Inferior Conglomerática del Mioceno. Obsérvese los niveles pelíticos rojizos y las costras ferruginosas desarrolladas en la base de los canales de conglomerados.



24. Puerto de Maó. Andén de Levante. Contacto entre las unidades miocénicas, la inferior conglomerática y la intermedia calcarenítica.



25. Península de La Mola. Discordancia entre el Paleozoico (Carbonífero de facies Culm) y las calizas arrecifales de la Unidad Superior del Mioceno.



26. Península de La Mola, Punta de S'Esperó. Discordancias entre el Paleozoico y el Mioceno. El paleozoico formado por canales de gruesas capas de turbiditas groseras. El Mioceno por calizas arrecifales (Unidad Arrecifal Superior).



Contacto entre los conglomerados de la Unidad Inferior del Mioceno y las calizas arrecifales de la Unidad Superior.



28. Detalle de las calizas arrecifales de la diapositiva 22. Obsérvese los nódulos algales de algas rojas (alga ball, rodolitos).



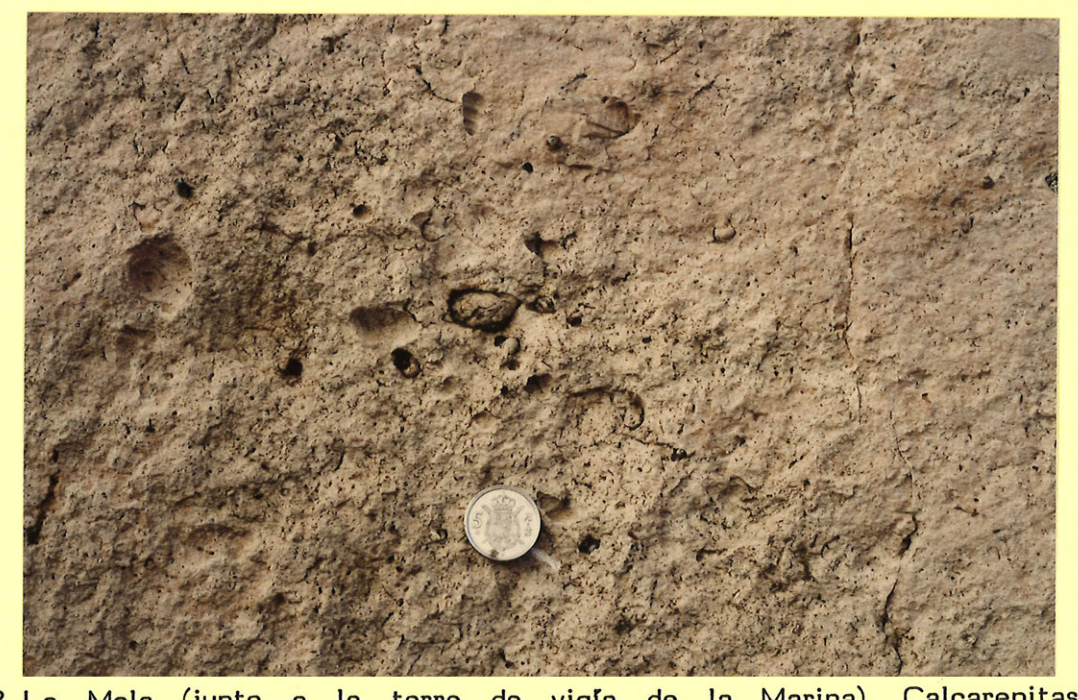
29. Punta de S'Esperó. Estratificación en las calizas periarrecifales de la Unidad Superior del Mioceno.



30. Detalle de las calizas de la diapositiva 24. Obsérvese que se hallan formadas únicamente por Halimeda.



31. Cala Rafalet. Masa bioconstruída (acúmulo de rodolitos) correspondiente a al Unidad Intermedia Calcarenítica del Mioceno.



32. La Mola (junto a la torre de vigla de la Marina). Calcarenitas correspondientes a dunas cuaternarias antiguas con abundante fauna de gasterópodos terrestres.



33. 200 m. al NW de la gasolinera de la carretera de Maó a Fornells. Formación travertínica cuaternaria de origen lacustre.



34. Playa de Capifort. Cala desarrollada en la desembocadura de un torrente en materiales paleozoicos. La construcción de una barra de conglomerados en su desembocadura ha aislado una zona lagunar (parte tapada por tamarindos) de valor ecológico. La arena actual es bioclástica y está adosada a la barra de cantos.